



بررسی صفات مورفومتریک سه گونه از خانواده گاوماهیان در سواحل مکران

نسیم حسینی^۱, فاطمه طباطبایی بزدی^{۲*}, ظهیر شکوه سلجوقی^۳^۱ دانشجوی کارشناسی ارشد علوم و مهندسی محیط زیست، گروه محیط زیست دانشکده منابع طبیعی و محیط زیست، دانشگاه فردوسی مشهد، مشهد، ایران^۲ استادیار گروه محیط زیست، دانشکده منابع طبیعی و محیط زیست، دانشگاه فردوسی مشهد، مشهد، ایران^۳ دانشآموخته دکتری، گروه شیلات، دانشکده منابع طبیعی، دانشگاه صنعتی اصفهان، اصفهان، ایران

چکیده

گاوماهیان یکی از بزرگترین خانواده‌های ماهیان می‌باشند که در آب‌های سراسر جهان پراکنش دارند. این مطالعه با هدف بررسی خصوصیات مورفومتریک سه گونه Bathygobius meggitti Acentrogobius dayi و Istigobius ornatus از خانواده گاوماهیان و جمعیت‌های آن‌ها، واقع در سواحل مکران، جنوب شرقی ایران صورت گرفته است. تعداد ۵۶ نمونه گاوماهی طی فضول بهار و تابستان ۱۳۹۷ از سه ایستگاه تیس، لیبار و دریا بزرگ صید و به آزمایشگاه منتقل گردید. ۳۶ شاخص ریختی به کمک نرم‌افزارهای PAST و SPSS جهت بررسی تک متغیره و چند متغیره مورد استفاده قرار گرفتند. نتایج نشان داد که اختلافات معنی‌دار در بین گونه‌ها، عمدتاً در قسمت سر و باله سینه‌ای وجود داشت. اما سایر شاخص‌های مورد بررسی تفاوت معنی‌داری نداشتند. نتایج حاصل از آنالیز خوش‌های مشخص نمود که گونه B. meggitti بیشترین تفاوت را با دو گونه دیگر دارد. همچنین مطالعات نشان داد که اختلافات درون گونه‌ای معنی‌دار در مورد گونه I. ornatus تفاوت‌های درون این تفاوت‌ها علاوه بر قسمت سر و باله سینه‌ای در قسمت دم نیز دیده شد. در گونه A. dayi تفاوت‌های درون گونه‌ای همچون در سطح بین گونه‌ای عمدتاً در قسمت سر و باله سینه‌ای بارز بود. مطالعه چند متغیره جمعیت-ها در دو گونه A. dayi و I. ornatus مشخص نمود که جمعیت‌های ایستگاه لیبار و دریا بزرگ از این دو گونه مشابه‌بیشتری با یکدیگر نشان می‌دهند. انجام مطالعات پیشرفته مولکولی می‌تواند به تکمیل مطالعات انجام شده و روش‌تر شدن وضعیت تنوع زیستی و آرایه شناختی این گونه‌ها کمک نماید.

نوع مقاله:

پژوهشی اصیل

تاریخچه مقاله:

دریافت: ۹۸/۱۱/۱۰

پذیرش: ۹۸/۱۲/۲۲

نویسنده مسئول مکاتبه:

فاطمه طباطبایی بزدی، استادیار گروه محیط زیست، دانشکده منابع طبیعی و محیط زیست،

فردوسی مشهد، مشهد، خراسان رضوی

ایمیل: f.tabatabaei@um.ac.ir

واژه‌های کلیدی:

تنوع زیستی، ماهی، مورفولوژی، زیست‌شناسی، آرایه شناسی

| ۱ مقدمه

قبيل ترک‌ها و شکاف‌های موجود در صخره‌های مرجانی، حفرات مربوط به بی‌مهرگان، پنهنه‌های گلی، باتلاق‌های مانگرو، آب‌های شیرین جزایر اقیانوسی و همچنین خورها و مصب‌ها اشاره نمود (Moyle and Cech, 2004). نمونه‌های قابل توجهی از هم‌ریستی بین گاوماهیان و بی‌مهرگان، مستند شده است (Karplus and Thompson, 2011).

ریخت‌سنگی (Morphometrics) شاخه‌ای از علم زیست‌شناسی است که به بررسی خصوصیات ریختی موجودات زنده و توصیف انواع حالات آن می‌پردازد (Mitteroecker and Gunz, 2009). از نظر لغت-شناسی Morphometric از دو کلمه Morph به معنی شکل و Slice et al. به معنی سنجش یا اندازه‌گیری تشکیل شده است (Metron

گاوماهیان از رده ماهیان استخوانی با ۲۵۸ گونه شناخته شده، یکی از بزرگترین خانواده‌های ماهیان پس از کپورماهیان می‌باشد (fishbase, 2020). ماهیان این خانواده هم در آب‌های شور و هم در آب‌های شیرین یافت می‌شوند و گونه‌های مختلف آن، تحمل دامنه‌های متفاوت شوری را دارا می‌باشند (Moyle and Cech, 2004). آن‌ها دارای پراکنش گستره‌تری در مناطق حاره و تحت حاره و غالباً در ناحیه غربی اقیانوس هند (Indo-West Pacific) می‌باشند. به نظر می‌رسد علت پراکنش گستره‌تر، توانایی قابل ملاحظه اعضا این خانواده در سازگاری با زیستگاه‌های بزرگ و کوچکی باشد که برای سایر ماهی‌ها قابل دسترسی نیست که از جمله می‌توان به مواردی از

مطالعه ماهیان در زیستگاه‌های آبی از نظر تنوع زیستی، بوم‌شناسی، رفتار‌شناسی، حفاظت و مدیریت ذخایر آبزیان و همچنین بهره‌برداری از آن‌ها اهمیت بسیاری دارد (Lagler *et al.*, 1997). بررسی جامع خصوصیات یک گونه در سطح جمعیتی و تنوع پذیری آن‌ها، درک روشن‌تری را از وضعیت‌ها در شرایط کنونی زیستگاه‌های آبی و Zivkov, (1996). لذا برای بررسی اکوسیستم‌های آبی، لازم است قبل از هر چیزی ماهیان آن مورد مطالعه قرار گیرند (Bagenal, 1978).

گام‌هاییان علاوه بر نقش مهمی که در زنجیره غذایی ایفا می‌کنند، تعدادی از گونه‌های آن برای بومیان دارای ارزش غذایی بوده و برخی در صید ورزشی مورد استفاده قرار می‌گیرند (Abdoli, 2017). با توجه به اینکه مطالعات چندانی بر روی آن‌ها در آبهای حوضه جنوبی صورت نگرفته است، لذا شناخت و بررسی خصوصیات و ویژگی‌های مورفومتریک آن‌ها هدف این مطالعه قرار گرفت.

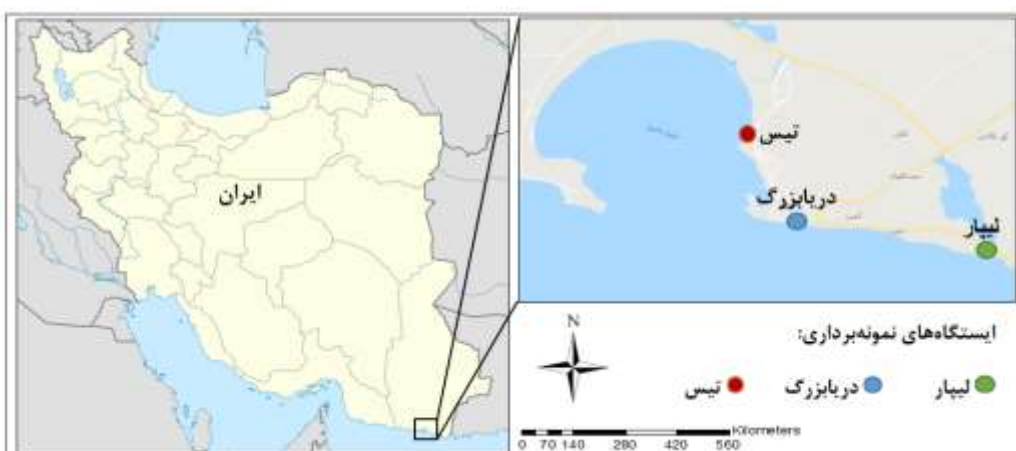
۲ | مواد و روش‌ها

به منظور انجام این تحقیق در مجموع تعداد ۵۶ نمونه گام‌هایی به صورت تصادفی، در بهار و تابستان ۱۳۹۷ از سه ایستگاه تیس، دریا بزرگ و هتل لیپار (جدول ۱)، واقع در دریای مکران (شکل ۱)، با استفاده از تورdestی صید و در الكل ۹۶٪ نگهداری و به آزمایشگاه دانشکده منابع طبیعی و محیط زیست دانشگاه فردوسی مشهد منتقل شدند.

نمونه‌ها شامل ۳۵ عدد *A. dayi* koumans, ۱۹۴۱ عدد *I. ornatus* و *meggitti* (Hora and Mukerji, 1936) (Ruppell, 1830) بود که پس از شماره زنی، تعداد ۲۶ شاخص مورفومتریک (جدول ۲) با استفاده از کولیس دیجیتال با دقت ۰/۰۱ - ۰/۰۱ میلی‌متر اندازه‌گیری شدند. داده‌ها در محیط Excel ثبت و سپس برای تجزیه و تحلیل تک متغیره با استفاده از آنالیز آماری GLM و دانکن توسط نرم‌افزار SPSS-22 مورد بررسی قرار گرفت. همچنین برای بررسی چند متغیره از آنالیز آماری PCA، CVA و آنالیز خوشه‌ای در نرم‌افزار PAST-2.17 استفاده گردید.

۲۰۰۱ (al., 2001). عمدتاً در زیست‌شناسی، ریخت‌سنگی برای توصیف کمی فرم موجودات استفاده می‌شود و با کمی سازی صفات امکان مقایسه شکل موجودات مختلف را برای محققان میسر می‌سازد (Zelditch *et al.*, 2004). ویژگی‌های مورفومتریک، صفاتی هستند که بیش از هر چیز مورد توجه می‌باشند و اولین صفات برای بررسی تاکسونومی محسوب می‌شوند (Emadi, 2015). از یکطرف رده‌بندی و بررسی تنوع Adams گونه‌ای نیز، بر اساس توصیف فرم‌های ریختی بنا شده است (et al., 2004) و از طرف دیگر انواع فرآیندهای زیستی، مانند سازگاری با فاکتورهای محیطی در درازمدت، باعث ایجاد تفاوت‌های ریختی بین افراد یا اندام‌هایی از آن‌ها می‌شود. آنالیز شکل براساس روش‌های ریخت-سنگی روشی برای بررسی میزان تفاوت‌ها و بررسی عوامل مرتبط با Zelditch *et al.*, 2004; Rohlf, 2002). به طور کلی این بررسی شامل هر اندازه‌گیری استانداردی است که امکان انجام آن روی ماهی وجود دارد که از آن جمله می‌توان به طول استاندارد، طول پوزه، طول طولیترین شعاع بالهی پشتی یا ضخامت ساقه‌ی دمی اشاره کرد. از آنجا که این اندازه‌گیری‌ها با رشد ماهی تغییر می‌کند، معمولاً آن‌ها را به صورت نسبت‌هایی از طول استاندارد یا سایر اندازه‌گیری‌هایی که می‌توان بر احتی انجام داد، بیان می‌کنند (ArzPeyma, 2014).

در خصوص گام‌هاییان در ایران مطالعات محدودی انجام گرفته است که اکثرا در محدوده حوضه دریای خزر بوده و از مطالعات محدوده خلیج فارس و دریای عمان تنها می‌توان به مطالعاتی بر روی گلخورک‌ها (Ghanbarifardi *et al.*, 2014; Salarpouri *et al.*, 2011) از شناسایی اعضای این خانواده همچون شناسایی گونه *Bathygobius Palutrus* (Bleeker, 1854) شناسایی گونه‌های جنس *cocosensis* (Coryogalops *scapulopunctatus* (de Beaufort, 1912) Sadeghi *et al.*) *Rhinogobius tessellatus* Randall, 1994 (2018; Sadeghi and Esmaeli, 2019; Sadeghi *et al.*, 2019) اشاره نمود. همچنین در مطالعه‌ای که بر روی ماهیان ساکن ناحیه جزء و مدى توسط قنبری فردی و مالک (Ghanbarifardi and Malek, 2009) انجام گرفته، تنها اشاره‌ای به حضور تعدادی از اعضای این خانواده در حوضه خلیج فارس و دریای عمان شده است.



شکل ۱- موقعیت جغرافیایی سه ایستگاه تیس، هتل لیپار و دریا بزرگ در سواحل مکران، جنوب شرقی ایران

جدول ۱- مشخصات ایستگاه‌های نمونه‌برداری

ردیف	نام ایستگاه	نوع ایستگاه	مختصات جغرافیایی	ارتفاع از سطح دریا
۱	تیس	سنگی، صخره‌ای جزر و مدی، گل آلود	۲۵°۲۱'۲۵.۰۸"N ۶۰°۳۶'۲۰.۴۶"E	۹
۲	دریا بزرگ	صخره‌ای	۲۵°۱۶'۳۹.۱۹"N ۶۰°۳۹'۴۷.۰۵"E	۶
۳	لیپار	صخره‌های مرجانی، صخره‌ای	۲۵°۱۵'۳.۲۹"N ۶۰°۴۹'۵۳.۷۹"E	۵۷

جدول ۲- شاخص‌های مورفومتریک بررسی شده در سه گونه از خانواده گاوماهیان

کدگذاری	توضیحات	کدگذاری
۹-۱۰	فاصله بین پوزه تا دهان (نوك پوزه تا انتهای دهان)	۱-۲
۹-۱۱	فاصله بین پوزه و جلوی چشم	۱-۳
۱۰-۱۱	فاصله بین دهان و جلوی آبشنش	۲-۳
۱۰-۱۲	فاصله بین پوزه و جلو آبشنش	۲-۴
۱۱-۱۳	قطر سر	۲-۴
۱۲-۱۳	فاصله بین پشت چشم و جلو آبشنش	۳-۵
۱-۱۴	فاصله بین جلو پوزه و باله شکمی	۳-۶
۱-۱۵	فاصله بین حلق و جلو باله پشتی	۴-۵
۱-۱۶	فاصله بین حلق و جلو باله شکمی	۴-۶
۱-۲۰	فاصله بین جلو باله پشتی و باله شکمی	۵-۶
۱-۲۱	فاصله بین جلو و پشت باله پشتی I	۵-۷
۱-۲۲	فاصله بین جلو باله پشتی و باله مخرجی	۸-۵
۱-۲۳	فاصله بین پشت باله پشتی I و باله شکمی	۶-۷
۱-۲۴	فاصله بین پشت باله پشتی I و باله مخرجی	۷-۸
۲۳-۲۴	فاصله بین دو باله پشتی	۷-۹
۲۵-۲۶	فاصله بین جلو باله پشتی II و باله مخرجی	۸-۹
TL	طول کلی	۸-۱۰
SL	طول استاندارد	۸-۱۱

۳ | نتایج

به دلیل تاثیر برخی متغیرها نسبت به طول بدن، متغیرهایی که دارای تفاوت معنی‌دار بودند به صورت نسبی نیز محاسبه گردیدند و به عنوان متغیری مجزا در آنالیزها وارد شدند. نتایج حاصل از آنالیز آماری دانکن نشان داد که تمام متغیرهایی که بصورت مطلق برای هر سه گونه معنی‌دار بودند، به صورت نسبی نیز دارای اختلاف معنی‌دار ($p < 0.05$) می‌باشند (جدول ۴).

آنالیز حاصل از آزمون تک متغیره GLM و دانکن از بین ۳۶ شاخص مورد بررسی، ۱۰ شاخص شامل: فاصله پوزه تا دهان، فاصله بین دهان و جلو آبشنش، فاصله بین پوزه و جلو آبشنش، قطر سر، فاصله بین پشت چشم و جلو آبشنش، فاصله بین پشت چشم و باله‌های شکمی، فاصله بین حلق و شروع باله پشتی، فاصله بین حلق و شروع باله شکمی، فاصله بین جلو پوزه و جلو باله سینه‌ای، فاصله بین جلو باله مخرجی و باله سینه‌ای (جدول ۳) را معنی‌دار نشان داد ($p < 0.05$).

جدول ۳- میانگین و انحراف معیار محاسبه شده برای سه گونه *I. ornatus*, *B. meggitti*, *A. dayi* در سواحل مکران، خلیج فارس. شاخص‌های دارای تفاوت معنی‌دار با رنگ خاکستری مشخص شده‌اند.

Mean \pm SD			شاخص	Mean \pm SD			شاخص
<i>I. ornatus</i>	<i>B. meggitti</i>	<i>A. dayi</i>		<i>I. ornatus</i>	<i>B. meggitti</i>	<i>A. dayi</i>	
۱۳/۱۶±۳/۶۴ ^a	۱۳/۰۳±۲/۲۴ ^a	۱۲/۶۵±۲/۱۴ ^a	۹-۱۰	۴/۱۰±۱/۰۴ ^a	۴/۴۶±۱/۰۱ ^{ab}	۵/۰۱±۰/۷۷ ^b	۱-۲
۱۱/۱۲±۳/۱۷ ^a	۱۱/۳۶±۲/۷۸ ^a	۱۱/۱۸±۲/۰۵ ^a	۹-۱۱	۴/۰۶±۱/۴۵ ^a	۴/۵۵±۰/۷۷ ^a	۴/۰۸±۰/۸۱ ^a	۱-۳
۶/۲۲±۱/۷۸ ^a	۶/۶۷±۱/۱۱ ^a	۶/۸۲±۲/۳۸ ^a	۱۰-۱۱	۸/۱۶±۲/۰۳ ^a	۱۱/۵۱±۲/۰۱ ^b	۹/۲۴±۱/۸۷ ^a	۲-۳
۱۲/۰۸±۲/۹۹ ^a	۱۱/۶۳±۲/۶۹ ^a	۱۱/۲۴±۱/۱۲ ^a	۱۰-۱۲	۱۲/۰۴±۳/۰۷ ^a	۱۴/۶۲±۲/۲۹ ^b	۱۳/۲۰±۲/۱۵ ^{ab}	۲-۴
۱۱/۰۱±۳/۳۴ ^a	۹/۷۵±۲/۱۹ ^a	۹/۶۲±۲/۱۰ ^a	۱۱-۱۳	۷/۱۴±۲/۲۶ ^a	۹/۲۵±۲/۸۰ ^b	۷/۳۳±۱/۰۷ ^a	۳-۴
۵/۶۸±۲/۳۲ ^a	۵/۸۴±۱/۴۴ ^a	۵/۹۸±۱/۶۸ ^a	۱۲-۱۳	۷/۴۰±۲/۸۳ ^a	۹/۳۳±۲/۱۳ ^b	۱/۶۳±۱/۶۳ ^{ab}	۳-۵
۳/۹۴±۱/۴۵ ^a	۴/۶۳±۰/۹۶ ^a	۳/۹۷±۱/۱۷ ^a	۱-۱۴	۱۰/۲۸±۳/۰۹ ^a	۱۲/۹۳±۱/۹۹ ^b	۱۰/۱±۱/۹۶ ^a	۳-۶
۱۵/۰۸±۳/۰۷ ^a	۱۶/۴۳±۳/۰۵ ^a	۱۵/۹۴±۳/۱۰ ^a	۱-۱۵	۱۲/۱۵±۲/۹۶ ^a	۱۴/۷۶±۲/۰۷ ^b	۱۳/۰۸±۲/۳۲ ^{ab}	۴-۵
۲۴/۷۷±۸/۹۱ ^a	۳۷/۴۰±۶/۱۴ ^a	۳۵/۰۴±۵/۷۳ ^a	۱-۱۶	۶/۵۵±۲/۵۸ ^a	۹/۱۸±۲/۳۶ ^b	۵/۹۳±۱/۳۹ ^a	۴-۶
۳۴/۳۸±۱۰ ^a	۳۷/۳۹±۵/۷۸ ^a	۳۴/۸۸±۵/۲۲ ^a	۱-۲۰	۹/۴۴±۲/۴۵ ^a	۱۰/۱۰±۲/۹۶ ^a	۱۰/۰۴±۲/۱۱ ^a	۵-۶
۲۶/۱۱±۷/۴۲ ^a	۳۰/۱۷±۴/۳۸ ^a	۲۷/۱۲±۲/۲۵ ^a	۱-۲۱	۷/۸۱±۲/۱۹ ^a	۷/۹۱±۱/۱۸ ^a	۸/۱۵±۲/۰۷ ^a	۵-۷
۱۳/۳۴±۴/۶ ^a	۱۶/۵۹±۲/۳۲ ^a	۱۳/۴۲±۴/۸۳ ^a	۱-۲۲	۱۳/۵۷±۲/۷۶ ^a	۱۴/۸۲±۲/۸ ^a	۱۴/۱۱±۲/۰۳ ^a	۵-۸
۱۳/۴۸±۴/۲ ^a	۱۵/۸۶±۲/۳۱ ^b	۱۴/۰۸±۲/۱۷ ^{ab}	۱-۲۳	۱۳/۲۴±۳/۴۷ ^a	۱۳/۷۵±۲/۴۱ ^a	۱۴/۳۹±۲/۳۲ ^a	۶-۷
۱۴/۱۹±۴/۱۵ ^a	۱۷/۱۸±۲/۵۷ ^b	۱۵/۱۷±۲/۲۴ ^{ab}	۱-۲۴	۹/۳۲±۲/۵۱ ^a	۱۰/۰۹۵±۲/۸۷ ^a	۱۰/۰۲±۲/۵۱ ^a	۷-۸
۱۰/۶۵±۲/۸۷ ^a	۱۰/۴۲±۱/۰۴ ^a	۹/۸۷±۲/۰۵ ^a	۲۳-۲۴	۱/۷۰±۰/۵۴ ^a	۱/۰۹۰±۰/۸۷ ^a	۲/۰۲±۲/۱ ^a	۷-۹
۲/۱۰±۰/۸۸ ^a	۲/۱۸±۰/۳۲ ^a	۲/۲۳±۱/۷۸ ^a	۲۵-۲۶	۸/۷۴±۲/۲۳ ^a	۱۰/۰۱±۱۳/۶۱ ^a	۸/۷۳±۱/۷۹ ^a	۸-۹
۵۴/۰۶±۱۴/۴۲ ^a	۵۵/۹۹±۸/۳۶ ^a	۵۳/۸۹±۷/۴۲ ^a	TL	۸/۸۴±۲/۶۶ ^a	۷/۶۱±۱/۶۲ ^a	۷/۸۱±۱/۵۴ ^a	۸-۱۰
۴۶/۱۷±۱۲/۱۶ ^a	۴۸/۲۸±۷/۴۷ ^a	۴۶/۱۷±۵/۰۳ ^a	SL	۱۲/۶۴±۳/۷۷ ^a	۱۱/۹۴±۲/۶۲ ^a	۱۱/۴۶±۱/۶۷ ^a	۸-۱۱

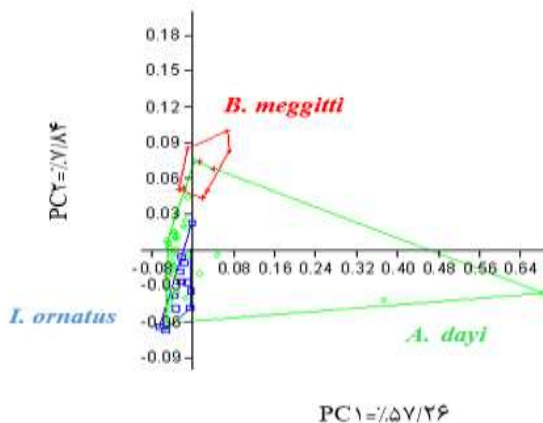
حروف غیر مشابه در هر ستون نشان دهنده معنی‌داری در سطح ${}^*P < 0.05$ باشد.

جدول ۴- میزان و سطح معنی‌داری تفاوت‌های بین گونه‌ای برای فاصله‌های نسبی محاسبه شده

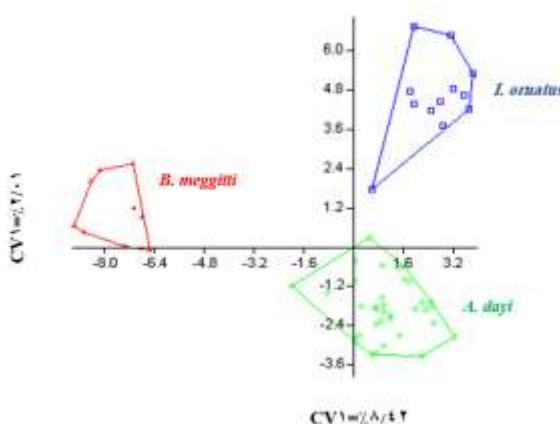
Mean \pm SD			شاخص
<i>Iornatus</i>	<i>B. meggitti</i>	<i>A. dayi</i>	
۰/۰۸±۰/۰۲ ^a	۰/۰۸±۰/۰۱ ^a	۰/۰۹±۰/۰۱ ^b	۱-۲
۰/۱۵±۰/۰۳ ^a	۰/۲۱±۰/۰۲ ^c	۰/۱۷±۰/۰۲ ^b	۲-۳
۰/۲۲±۰/۰۱ ^a	۰/۲۶±۰/۰۱ ^c	۰/۲۴±۰/۰۱ ^b	۲-۴
۰/۱۴±۰/۰۲ ^a	۰/۱۶±۰/۰۳ ^b	۰/۱۴±۰/۰۲ ^a	۳-۴
۰/۱۳±۰/۰۲ ^a	۰/۱۷±۰/۰۲ ^c	۰/۱۵±۰/۰۱ ^b	۳-۵
۰/۱۹±۰/۰۰۳ ^a	۰/۲۳±۰/۰۲ ^b	۰/۱۹±۰/۰۲ ^a	۳-۶
۰/۲۳±۰/۰۲ ^a	۰/۲۷±۰/۰۳ ^b	۰/۲۴±۰/۰۲ ^a	۴-۵
۰/۱۲±۰/۰۳ ^a	۰/۱۸±۰/۰۴ ^b	۰/۱۱±۰/۰۲ ^a	۴-۶
۰/۲۵±۰/۰۱ ^a	۰/۲۸±۰/۰۱ ^c	۰/۲۶±۰/۰۲ ^b	۱-۲۳
۰/۲۶±۰/۰۱ ^a	۰/۳۱±۰/۰۲ ^c	۰/۲۸±۰/۰۲ ^b	۱-۲۴

و $CV2$ به ترتیب $۸/۴۱۶$ ٪ و $۱۱/۰۲$ ٪ بود، همچنین براساس مقدار p تفاوت معنی‌داری میان شکل جمعیت گونه‌ها وجود داشت CVA ($wilks lambda = ۰/۰۰۶$ و $F = ۵/۵$). براساس نتایج آنالیز حداکثر جدایی میان سه گونه مشاهده شد ($p < 0.05$). تحلیل خوشهای بر اساس فاصله اقلیدیسی با ۱۰۰۰۰ تکرار برای سه گونه نشان داد که گونه *B. meggitti* دارای تفاوت بیشتری با سایر گونه‌ها می‌باشد (شکل ۴).

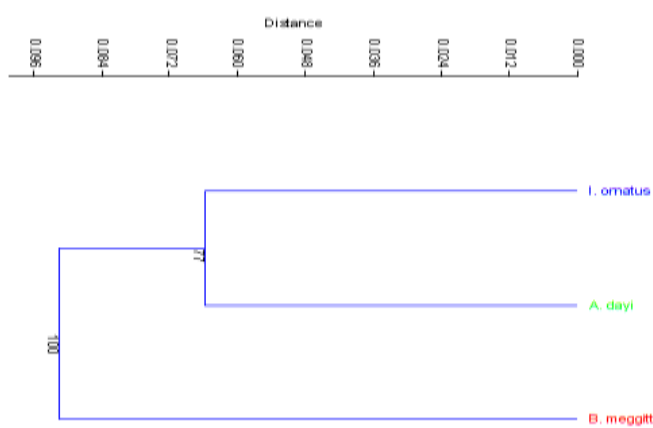
تجزیه و تحلیل مولفه‌های اصلی (PCA) نشان داد که برای سه گونه چون میزان مقدار ویژه Eigen value از Jolliffe cut-off بیشتر است، بنابراین مولفه‌ها معنی‌دار هستند و دو مؤلفه اول شکلی را بیان می‌نمایند (شکل ۲). تجزیه و تحلیل متغیرهای کانونیک (CVA) تفاوت معنی‌داری براساس متغیرهای مورد مطالعه بین سه گونه را نشان داد (شکل ۳). براساس مقایسه جفت CV1 HOTELLING P VALUES, Bonferroni corrected



شکل ۲- نمودار مولفه‌های اصلی (PCA) محاسبه شده برای سه گونه مذکور



شکل ۳- نمودار آنالیز CVA شکل بدن جمعیت‌های سه گونه از خانواده گاوماهیان



شکل ۴- دندوگرام UPGMA (Unweighted Pair-Group Moving Average) صفات مورفومتریک سه گونه از خانواده گاوماهیان در سواحل مکران بر اساس ضریب مربع فاصله اقلیدسی

و باله مخرجی، فاصله بین جلو باله پشتی II و باله مخرجی، فاصله بین جلو باله پشتی II و پشت باله مخرجی، فاصله بین پشت باله مخرجی و پشت باله پشتی II، قطر دم (جدول ۵) دارای تفاوت معنی‌دار می‌باشد ($p < 0.05$).

آنالیز حاصل از آزمون تک متغیره GLM و دانکن، برای گونه I. ornatus نشان داد که از ۳۶ شاخص مورد بررسی ۸ شاخص شامل فاصله بین پوزه و جلو چشم، فاصله بین حلق و شروع باله شکمی، فاصله بین جلو باله پشتی و باله مخرجی، فاصله بین پشت باله پشتی I

جدول ۵- میانگین و انحراف معیار محاسبه شده برای گونه *I. ornatus*, در سواحل مکران، خلیج فارس. شاخص‌های تفاوت‌های معنی‌دار با رنگ خاکستری مشخص شده‌اند.

Mean \pm SD			شاخص	Mean \pm SD			شاخص
Darya Bozorg	Lipar	Tis		Darya Bozorg	Lipar	Tis	
۱۰/۱۵±۰/۹۲ ^a	۱۳/۲۷±۲/۶۸ ^{ab}	۱۵/۴۳±۲/۳۷ ^b	۹-۱۰	۳/۸۴±۰/۷۴ ^a	۳/۹۲±۱/۱۵ ^a	۴/۴۳±۱/۳۰ ^a	۱-۲
۸/۶۰±۰/۱۰ ^a	۱۱/۵۵±۳/۰۸ ^a	۱۲/۸۸±۲/۴۱ ^a	۹-۱۱	۲/۹۵±۰/۵۸ ^a	۳/۸۹±۱/۱۸ ^{ab}	۵/۰۵±۱/۱۲ ^b	۱-۳
۴/۶۳±۰/۸۵ ^a	۶/۹۵±۱/۴۵ ^{ab}	۷/۱۷±۱/۷۶ ^a	۱۰-۱۱	۶/۳۸±۱/۰۲ ^a	۸/۷۱±۲/۳۳ ^a	۹/۲۵±۲/۰۰ ^a	۲-۳
۹/۹۲±۱/۳۰ ^a	۱۲/۸۱±۲/۱۴ ^a	۱۳/۴۷±۲/۱۷ ^a	۱۰-۱۲	۹/۳۸±۱/۰۷ ^a	۱۲/۵۹±۳/۸۳ ^a	۱۳/۸۴±۴/۱۲ ^a	۲-۴
۸/۷۷±۲/۷۲ ^a	۱۱/۷۶±۳/۱۹ ^a	۱۲/۴۰±۳/۴۵ ^a	۱۱-۱۳	۵/۰۳±۰/۹۹ ^a	۷/۴۶±۳/۲۹ ^a	۸/۹۲±۲/۶۶ ^a	۳-۴
۳/۸۴±۱/۷۸ ^a	۵/۲۶±۱/۰۸ ^{ab}	۷/۴۱±۲/۴۹ ^b	۱۲-۱۳	۵/۳۶±۱/۰۵ ^a	۷/۵۳±۲/۲۹ ^a	۸/۹۵±۲/۹۵ ^a	۳-۵
۲/۸۹±۰/۶۳ ^a	۴/۰۰±۲/۰۱ ^a	۴/۷۵±۱/۲۴ ^a	۱-۱۴	۷/۶۱±۲/۹۰ ^a	۱۰/۰۸±۳/۰۴ ^a	۱۲/۵۴±۳/۳۱ ^a	۳-۶
۱۲/۳۹±۱/۹۰ ^a	۱۵/۵۵±۴/۷۵ ^a	۱۶/۶۹±۳/۱۶ ^a	۱-۱۵	۱۰/۱۹±۲/۴۱ ^a	۱۲/۶۷±۴/۲۰ ^a	۱۳/۴۰±۲/۲۳ ^a	۴-۵
۲۷/۷۱±۴/۳۲ ^a	۳۶/۶۴±۱/۰۹ ^a	۳۹/۶۵±۸/۴۹ ^a	۱-۱۶	۴/۱۸±۲/۲۷ ^a	۶/۹۰±۲/۱۹ ^{ab}	۸/۲۴±۱/۶۴ ^b	۴-۶
۲۶/۶۲±۵/۱۱ ^a	۳۵/۸۱±۱۱/۲۵ ^a	۳۹/۷۳±۹/۷۲ ^a	۱-۲۰	۸/۰۵±۲/۳۷ ^a	۹/۲۲±۲/۵۱ ^a	۱۰/۲۲±۱/۷۷ ^a	۵-۶
۲۰-۰۵±۴/۱۵ ^a	۲۷/۱۱±۷/۲۶ ^a	۳۰/۳۶±۷/۲۲ ^a	۱-۲۱	۶/۴۸±۱/۷۸ ^a	۸/۰۶±۲/۶۲ ^a	۸/۷۲±۲/۴۱ ^a	۵-۷
۹/۹۸±۲/۵۳ ^a	۱۳/۰۹±۴/۲۳ ^a	۱۶/۱۷±۴/۷۷ ^a	۱-۲۲	۱۰/۱۶±۱/۷۸ ^a	۱۴/۴۲±۳/۸۶ ^{ab}	۱۵/۷۸±۲/۳۰ ^b	۵-۸
۱۰/۰۱±۱/۸۴ ^a	۱۳/۷۱±۴/۲۶ ^a	۱۵/۷۷±۴/۶۷ ^a	۱-۲۳	۱۰/۰۹±۲/۰۹ ^a	۱۴/۱۵±۴/۱۷ ^a	۱۴/۵۴±۳/۶۲ ^a	۶-۷
۱۱/۲۸±۲/۳۱ ^a	۱۴/۴۶±۴/۱۷ ^a	۱۶/۶۰±۴/۳۴ ^a	۱-۲۴	۷/۰۱±۱/۰۵ ^a	۹/۶۱±۱/۹۱ ^{ab}	۱۰/۹۹±۲/۳۹ ^b	۷-۸
۸/۴۷±۲/۰۰ ^a	۱۰/۴۲±۲/۰۷ ^a	۱۲/۰۳±۲/۶۵ ^a	۲۳-۲۴	۱/۳۱±۰/۲۴ ^a	۱/۷۹±۰/۴۵ ^a	۱/۹۶±۰/۶۵ ^a	۷-۹
۱/۶۸±۰/۱۷۰ ^a	۲/۶۵±۰/۱۹۳ ^a	۲/۱۰±۰/۹۴ ^a	۲۵-۲۶	۶/۶۳±۰/۷۲ ^a	۹/۳۷±۲/۲۸ ^{ab}	۱۰/۰۵±۲/۲۵ ^a	۸-۹
۳۷/۰۳±۶/۵۳ ^a	۴۸/۷۶±۱۳/۰۵ ^a	۵۱/۹۲±۱۲/۳۹ ^a	SL	۷/۰۶±۱/۶۱ ^a	۹/۰۵±۳/۶۴ ^a	۹/۸۷±۲/۴۷ ^a	۸-۱۰
۴۲/۸۷±۸/۰۸ ^a	۵۶/۸۷±۱۵/۷۹ ^a	۶۱/۳۳±۱۴/۱۷ ^a	TL	۹/۰۸±۱/۵۲ ^a	۱۲/۹۷±۴/۲۷ ^a	۱۴/۶۵±۳/۹۲ ^a	۸-۱۱

حروف غیر مشابه در هر ستون نشان دهنده معنی‌داری در سطح 0.05 می‌باشد.

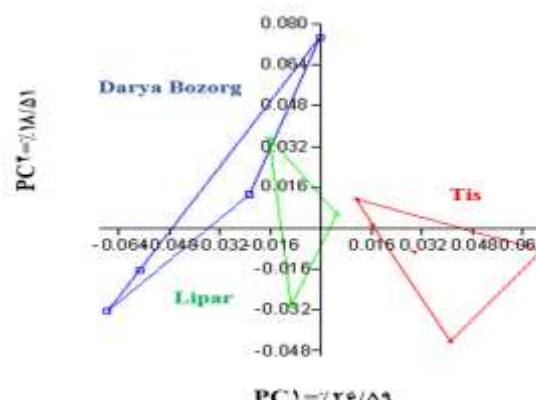
مقدار ویژه Jolliffe cut-off از Eigen value برای این جدول بیشتر است و مؤلفه‌ها مجموعاً حدود ۵۰ درصد ($PC1=۲۶/۵۹$ و $PC2=۱۸/۵۱$) از اختلافات شکلی را بیان می‌نمایند (شکل ۵). تجزیه و تحلیل خوش‌ای بر اساس فاصله اقلیدسی با ۱۰۰۰۰ تکرار برای سه جمعیت گونه *I. ornatus* نشان داد که جمعیت ایستگاه تیس داری تفاوت بیشتری با سایر ایستگاه‌ها می‌باشد (شکل ۶).

فاصله نسبی محاسبه شده نیز نشان داد که فاصله بین جلو باله پشتی و باله مخرجی، فاصله بین پشت باله مخرجی و پشت باله پشتی II، فاصله بین جلو پوزه و باله شکمی، فاصله بین جلو پوزه و پشت باله سینه‌ای دارای تفاوت معنی‌دار می‌باشند (جدول ۶).

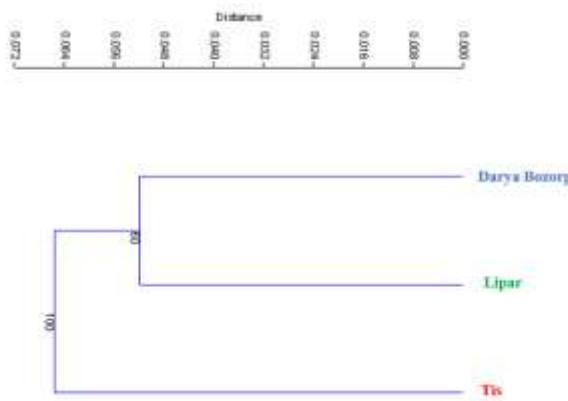
تجزیه و تحلیل مؤلفه‌های اصلی (PCA) برای بررسی اختلافات جمعیت‌های سه ایستگاه از گونه *I. ornatus* نشان داد که میزان

جدول ۶- میزان و سطح معنی‌داری تفاوت‌های درون گونه‌ای *I. ornatus* برای فاصله‌های نسبی محاسبه شده

Mean \pm SD			شاخص
Darya Bozorg	Lipar	Tis	
۰/۲۴±۰/۰۱ ^a	۰/۲۵±۰/۰۱ ^b	۰/۲۶±۰/۰۱ ^b	۵-۸
۰/۱۱±۰/۰۰۲ ^a	۰/۱۲±۰/۰۰۱ ^b	۰/۱۲±۰/۰۱ ^{ab}	۱۰-۱۱
۰/۲۳±۰/۰۰۲ ^a	۰/۲۳±۰/۰۰۱ ^a	۰/۲۶±۰/۰۰۲ ^b	۱-۲۲
۰/۲۶±۰/۰۰۴ ^{ab}	۰/۲۵±۰/۰۰۴ ^a	۰/۲۷±۰/۰۱ ^b	۱-۲۴



شکل ۵- نمودار مؤلفه‌های اصلی (PCA) سه ایستگاه محاسبه شده برای گونه *I. ornatus*



شکل ۶- دندوگرام سه جمعیت تیس، دریا بزرگ و لیپار برای گونه *I.ornatus* بر اساس ضریب مربع فاصله اقلیدسی تحلیل خوشای بر اساس فاصله اقلیدسی با ۱۰۰۰۰ تکرار

فاصله بین جلو باله پشتی II و پشت باله مخرجی، فاصله بین جلو پوزه و جلو باله مخرجی، فاصله بین جلو پوزه و جلو باله سینه‌ای (جدول ۸) دارای تفاوت معنی‌دار بودند.

تجزیه و تحلیل مؤلفه‌های اصلی (PCA) برای سه ایستگاه گونه *A. dayi* نشان داد که چون میزان مقدار ویژه Eigen value از Jolliffe cut-off می‌بیشتر است، بنابراین مؤلفه‌ها معنی‌دار هستند و مجموعاً نزدیک ۶۰ درصد ($PC_1 = 46/20 = 0.83$ و $PC_2 = 0.10/20 = 0.05$) از اختلافات شکلی را بیان می‌نمایند (شکل ۷).

تحلیل خوشای بر اساس فاصله اقلیدسی با ۱۰۰۰۰ تکرار برای سه جمعیت گونه *A. dayi* نشان داد که جمعیت‌های این گونه در ایستگاه تیس دارای تفاوت بیشتری با جمعیت‌های سایر ایستگاه‌ها می‌باشد (شکل ۸).

آنالیز حاصل از آزمون تک متغیره GLM و دانکن، برای گونه *A. dayi* نشان داد که از ۳۶ شاخص مورد بررسی ۱۱ شاخص شامل: فاصله بین پوزه و جلو چشم، فاصله بین پوزه و جلو آبشش، قطر سر، فاصله بین حلق و جلو باله شکمی، فاصله بین جلو و پشت باله پشتی I، فاصله بین جلو باله پشتی و باله مخرجی، فاصله بین پشت باله پشتی I و باله شکمی، فاصله بین جلو باله پشتی II و باله مخرجی، فاصله بین جلو پوزه و جلو باله سینه‌ای، فاصله بین جلو پوزه و پشت باله سینه‌ای (جدول ۷) دارای تفاوت معنی‌دار می‌باشد (p<0.05).

فاصله نسبی محاسبه شده نشان داد که قطر سر، فاصله بین حلق و جلو باله شکمی، فاصله بین جلو و پشت باله پشتی I، فاصله بین پشت باله پشتی I و باله شکمی، فاصله بین پشت باله پشتی I و باله مخرجی،

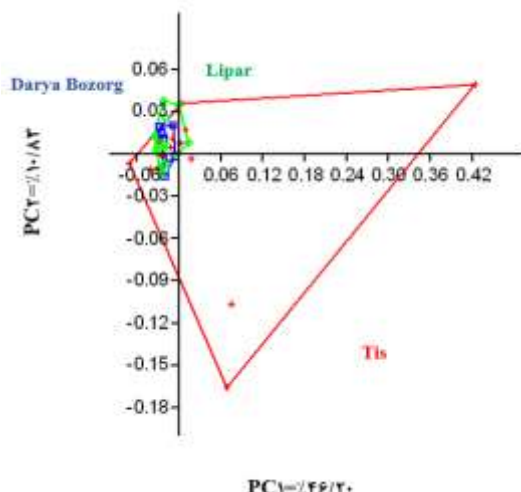
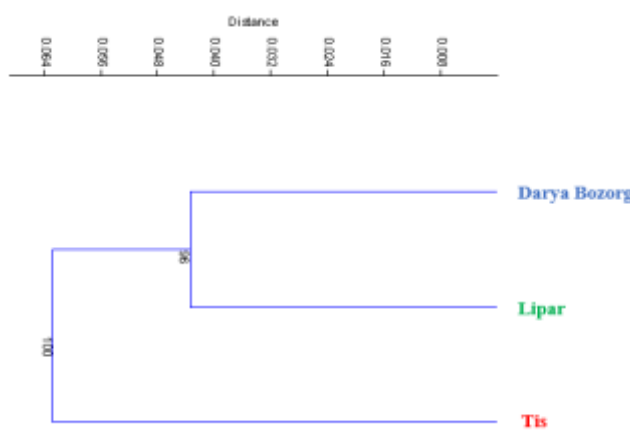
جدول ۷- میانگین و انحراف معیار محاسبه شده برای گونه *A. dayi* در سواحل مکران، خلیج فارس. شاخص‌ها با تفاوت معنی‌دار با رنگ خاکستری مشخص شده‌اند.

Mean \pm SD			شاخص	Mean \pm SD			شاخص
Darya Bozorg	Lipar	Tis		Darya Bozorg	Lipar	Tis	
۱۰/۹۴±۲/۲۷ ^a	۱۳/۱۰±۱/۷۶ ^b	۱۳/۰۶±۲/۰۹ ^b	۹-۱۰	۴/۶۵±۱/۰۲ ^a	۵/۱۷±۰/۶۷ ^a	۵/۰۵±۰/۷۳ ^a	۱-۲
۱۰/۴۸±۱/۱۸ ^a	۱۱/۲۲±۱/۱۳ ^a	۱۱/۴۶±۲/۶۳ ^a	۹-۱۱	۴/۴۹±۰/۶۹ ^a	۴/۲۱±۰/۵۱ ^b	۴/۲۴±۰/۹۶ ^b	۱-۳
۵/۶۶±۱/۱۱ ^a	۷/۳۸±۲/۶۱ ^a	۶/۹۰±۲/۵۳ ^a	۱۰-۱۱	۸/۱۸±۲/۵۵ ^a	۹/۴۸±۱/۴۴ ^a	۹/۵۲±۱/۷۷ ^a	۲-۳
۱۰/۰۱±۱/۱۸ ^a	۱۱/۱۰±۱/۱۴ ^a	۱۱/۱۴±۲/۲۶ ^a	۱۰-۱۲	۱۱/۷۹±۲/۷۸ ^a	۱۳/۷۵±۱/۳۲ ^{ab}	۱۳/۴۲±۲/۲۴ ^b	۲-۴
۸/۸۹±۲/۲۱ ^a	۱۰/۱۶±۱/۴۹ ^a	۹/۵۳±۲/۴۳ ^a	۱۱-۱۳	۶/۴۶±۱/۱۶ ^a	۸/۱۲±۰/۹۵ ^{ab}	۷/۱۲±۱/۸۷ ^b	۳-۴
۴/۹۷±۰/۷۵ ^a	۶/۱۵±۱/۲۳ ^a	۶/۲۹±۱/۹۶ ^a	۱۲-۱۳	۷/۲۷±۲/۰۴ ^a	۸/۵۱±۱/۱۸ ^a	۸/۰۵±۱/۶۹ ^a	۳-۵
۳/۳۵±۰/۶۲ ^a	۴/۲۲±۰/۷۰ ^a	۴/۰۵±۱/۰۴ ^a	۱-۱۴	۸/۷۸±۱/۹۲ ^a	۱۰/۰۴±۱/۰۵ ^a	۱۰/۰۵±۲/۱۲ ^a	۳-۶
۱۴/۴۵±۲/۲۰ ^a	۱۷/۰۲±۱/۶۳ ^a	۱۵/۷۷±۳/۷۰ ^a	۱-۱۵	۱۱/۷۶±۳/۰۹ ^a	۱۳/۲۹±۱/۳۷ ^a	۱۳/۰۵±۲/۴۳ ^a	۴-۵
۳۲/۸۲±۶/۰۷ ^a	۳۷/۹۱±۳/۱۲ ^a	۳۳/۸۶±۶/۴۹ ^a	۱-۱۶	۴/۶۶±۱/۳۹ ^a	۵/۶۹±۱/۰۴ ^{ab}	۶/۶۶±۱/۲۲ ^b	۴-۶
۳۱/۴۴±۵/۶۲ ^a	۳۶/۰۸±۳/۶۱ ^a	۳۵/۴۸±۵/۰۷ ^a	۱-۱۷	۹/۶۰±۳/۶۸ ^a	۱۰/۴۴±۱/۲۶ ^a	۹/۹۴±۱/۸۳ ^a	۵-۶
۳۲/۵۷±۵/۳۹ ^a	۲۸/۰۲±۳/۱۶ ^a	۲۸/۳۰±۶/۲۴ ^a	۱-۲۱	۶/۶۳±۱/۶۳ ^a	۸/۶۹±۱/۴۰ ^b	۸/۴۱±۲/۴۱ ^b	۵-۷
۱۱/۰۹±۲/۱۹ ^a	۱۳/۰۲±۱/۶۱ ^a	۱۴/۶۲±۶/۷۱ ^a	۱-۲۲	۱۲/۶۶±۲/۱۷ ^a	۱۴/۸۷±۱/۳۷ ^{ab}	۱۴/۳۱±۲/۱۸ ^b	۵-۸
۱۲/۳۳±۲/۸۹ ^a	۱۴/۷۸±۱/۷۰ ^b	۱۴/۳۱±۱/۸۲ ^b	۱-۲۳	۱۲/۰۷±۲/۶۱ ^a	۱۵/۴۷±۱/۸۳ ^{ab}	۱۴/۳۱±۲/۱۹ ^a	۶-۷
۱۳/۸۷±۳/۲۱ ^a	۱۶/۰۰±۱/۸۰ ^{ab}	۱۵/۳۴±۲/۰۹ ^b	۱-۲۴	۸/۳۷±۱/۴۰ ^a	۱۰/۱۸±۱/۱۰ ^a	۱۰/۶۲±۲/۳۰ ^a	۷-۸
۸/۷۸±۱/۹۵ ^a	۹/۹۴±۱/۲۲ ^a	۱۰/۳۰±۲/۲۸ ^a	۲۳-۲۴	۱/۸۹±۰/۵۹ ^a	۱/۵۳±۰/۴۹ ^a	۲/۴۵±۳/۰۵ ^a	۷-۹
۲/۱۹±۰/۷۱ ^a	۲/۰۳±۰/۶۰ ^a	۲/۳۹±۲/۵۹ ^a	۲۵-۲۶	۷/۵۶±۱/۳۴ ^a	۹/۵۸±۱/۱۰ ^{ab}	۸/۶۳±۲/۱۰ ^b	۸-۹
۴۲/۱۴±۷/۳۳ ^a	۴۷/۸۱±۴/۵۵ ^a	۴۶/۷۰±۷/۰۶ ^a	SL	۷/۵۶±۱/۱۰ ^a	۸/۱۱±۰/۸۹ ^a	۷/۷۱±۲/۰۶ ^a	۸-۱۰
۴۹/۴۹±۸/۹۴ ^a	۵۵/۵۳±۵/۰۵ ^a	۵۴/۵۸±۷/۸۹ ^a	TL	۱۰/۶۸±۱/۸۸ ^a	۱۲/۰۱±۱/۰۶ ^a	۱۱/۳۹±۱/۸۸ ^a	۸-۱۱

حروف غیر مشابه در هر ستون نشان دهنده معنی‌داری در سطح ۰/۰۵ می‌باشد.

جدول ۸- میزان و سطح معنی‌داری تفاوت‌های درون گونه‌ای *A. dayi* برای فاصله‌های نسبی محاسبه شده

Darya Bozorg	Lipar	Tis	شاخص
Mean \pm SD			
-/۱۳±۰/۰۱ ^a	-/۱۵±۰/۰۱ ^b	-/۱۳±۰/۰۲ ^a	۳-۴
-/۰۹±۰/۰۱ ^a	-/۱۰±۰/۰۱ ^a	-/۱۲±۰/۰۲ ^b	۴-۶
-/۱۳±۰/۰۲ ^a	-/۱۶±۰/۰۲ ^b	-/۱۵±۰/۰۲ ^b	۵-۷
-/۲۶±۰/۰۲ ^a	-/۲۸±۰/۰۲ ^b	-/۲۶±۰/۰۲ ^{ab}	۶-۷
-/۱۷±۰/۰۱ ^a	-/۱۸±۰/۰۱ ^{ab}	-/۱۹±۰/۰۳ ^b	۷-۸
-/۲۲±۰/۰۲ ^a	-/۲۴±۰/۰۲ ^{ab}	-/۲۴±۰/۰۲ ^b	۹-۱۰
-/۴۷±۰/۰۳ ^a	-/۵۱±۰/۰۲ ^{ab}	-/۵۲±۰/۰۲ ^b	۱-۲۱
-/۲۵±۰/۰۲ ^a	-/۲۷±۰/۰۲ ^{ab}	-/۲۶±۰/۰۲ ^b	۱-۲۳

شکل ۷- نمودار مولفه‌های اصلی (PCA) سه ایستگاه محاسبه شده برای گونه *A. dayi*شکل ۸- دندوگرام سه ایستگاه تیس، دریا بزرگ و لیپار برای گونه *A. dayi* بر اساس ضریب مربع فاصله اقلیدسی تحلیل خوش‌های بر اساس فاصله اقلیدسی با ۱۰۰۰۰ تکرار

۴ | بحث و نتیجه‌گیری

قلمداد می‌گردد. مطالعات سال‌های اخیر نشان می‌دهد که اختلافات ریخت‌شناسی بین جمعیت‌های مختلف یک گونه می‌تواند ناشی از جدایی ژنتیکی و همچنین ناشی از سازگاری به اختلافات محیطی باشد

با وجود اینکه پیشرفت علم باعث ظهور تکنیک‌های نوین در عرصه زیست‌شناسی گردیده است، اما روش مورفومتریک به عنوان یک روش سنتی همچنان یکی از بهترین روش‌ها در شناسایی و رده‌بندی گونه‌ها

نتایج آنالیز خوشهای نشان داد که دو جمعیت لیپار و دریا بزرگ گونه *I. ornatus* شباهت بیشتری با یکدیگر دارند و جمعیت تیس نسبت به دو ایستگاه دیگر دارای اختلاف بیشتری می‌باشد. همچنین در مورد *A. dayi* نیز مشابه گونه *I. ornatus*, دو جمعیت لیپار و دریا بزرگ دارای مشابهت بیشتر و جمعیت تیس نیز متفاوت از آن‌ها بود. تفاوت مشاهده شده می‌تواند مرتبط با نوع بستر و تغذیه گونه‌ها باشد. با توجه به اینکه مطالعات مورفومتریک جدایی این سه گونه را تأیید نمود، اما شباهت‌هایی نیز میان آن‌ها مشاهده شد. این مطالعه سرآغازی برای مطالعات گستردگر این خانواده در حوضه آب‌های ایران می‌باشد. لذا نیاز به بررسی مجدد آرایه‌شناسی این خانواده وجود دارد. از سوی دیگر به علت پراکنش گستردگی خانواده گاوماهیان در امتداد خلیج فارس و دریای عمان و عدم مطالعات کافی در این حوضه، نیاز به مطالعات ریخت‌سنگی هندسی و ژنتیکی جامعی بر روی اعضای این خانواده وجود دارد.

۵ | تشکر و قدردانی

با تشکر از معاونت پژوهش و فناوری دانشگاه فردوسی مشهد برای حمایت از این طرح پژوهشی با کد طرح ۴۷۷۹۶.

پست الکترونیک نویسنده‌گان

nassim.hosseini@mail.um.ac.ir
f.tabatabaei@um.ac.ir
zoheirsaljoghi@gmail.com

نسیم حسینی:
فاطمه طباطبایی یزدی:
ظهیر شکوه سلجوچی:

REFERENCES

- Abdoli A. 2017. Iran Inland Fisheries. Iranian Studies Publications. 272 p.
- Abdoli A. 2000. The Inland Water Fishes of Iran. Iranian Museum of Nature and Wildlife, Tehran. 378 p. (In Persian).
- Adams D.C., Rohlf F.J., Slice D.E. 2004. Geometric morphometrics: Ten years of progress following the 'revolution'. *Italian Journal of Zoology*. 71: 5-16.
- ArzPeyma A. 2014. Fish, Fisheries and Iranian Fishes (native and non-native). Aquatic Science Publications. Iran. 200p.
- Bagenal T, Tesch F, 1978. Methods for Assessment of Fish Production in Fresh Waters. IBP Handbook 3 Blackwell, Oxford, UK. 313 p.
- Barel, C.D.N., 1983. Towards a constructional morphology of cichlid fishes (Teleostei, Perciformes). *Netherlands Journal of Zoology*. 33: 357-424.
- Chapman L, Albert J, and Galis F. 2008. Developmental plasticity, genetic differentiation, and hypoxia-induced trade-offs in an African cichlid fish. *The Open Evolution Journal*, 2:75-88.
- Coad, B., 2014. Fresh water fishes of Iran. Available at <http://www.briancoad.com>.
- Eagderi, S., Esmaeilzadegan, E., and Madah, A., 2013. Body shape variation in riffle minnows (*Alburnoides eichwaldii* De Filippi, 1863) populations of Caspian

(Tudela, 1999; Turan, 2000). به عبارت دقیق‌تر، تنوع ریخت-شناختی ممکن است نتیجه انعطاف‌پذیری ریختی، سازگاری‌های منطقه‌ای، تغییرات خصوصیات اکولوژیکی، عوامل زیستی یا رابطه متقابل هر یک از این فرآیندها باشد (Zelditch *et al.*, 2004; Nicieza, 2000; Tjarks, 2009). در این مطالعه نتیجه تجزیه و تحلیل تک متغیره و چند متغیره نشان داد که متغیرهای معنی‌دار وقتی به صورت نسبی نیز مورد بررسی قرار گرفته باشند به طور معنی‌داری تفاوت‌ها را نشان می‌دادند. این معنی‌داری می‌تواند حاکی از تاثیر طول بدن بر روی سایر متغیرهای ریختی گونه‌ها باشد. همان‌طور که گفته شد، می‌توان آن را نتیجه تأثیر مجموعه عوامل محیطی از قبیل نوع بستر و جریان آب و میزان دسترسی به منابع غذایی بر روی این گونه‌ها دانست (Nicieza, 2000). تفاوت معنی‌داری که در ناحیه سر و دهان مشاهده گردید، می‌تواند نشان دهنده تفاوت در رژیم غذایی سه گونه باشد (Ruehl and Dewitt, 2005; Chapman *et al.*, 2008). براساس آنالیز متغیرهای کانونیک سه گونه دارای تفاوت‌های معنی‌دار با یکدیگر بودند، گونه *B. meggttii* دارای حداقل فاصله از دو گونه *A. dayi* و *I. ornatus* بوده است. در آنالیز خوشهای نیز همانند تجزیه و تحلیل کانونیک گونه *B. meggttii* با پشتیبانی صد درصد از دو گونه *I. ornatus* دارای مشابهت و قربت بیشتری با *A. dayi* دارد. دیگر جدا شد و گونه *B. meggttii* که ممکن است عامل جدایی زیستگاه منجر به گونه‌زایی آن‌ها شده باشد.

از آنجایی که گونه *B. maggitti* فقط در ایستگاه تیس مشاهده گردید، این پراکنش کمتر را می‌توان به اختصاصی بودن زیستگاه و نیچ اکولوژیک باریکتر آن مرتبط دانست. همان‌طور که در نتایج آنالیزهای ریخت‌سنگی سنتی نشان داده شد، جمعیت‌های گونه *I. ornatus* در ناحیه سر، باله سینه‌ای و قطر دم دارای تفاوت معنی‌دار بودند. از آنجا که ویژگی‌های مربوط به جایگاه سر و دهان، موقعیت باله‌ها و ساقه دمی در قالب صفات زیستی مانند شکل بدن، الگوی تغذیه و الگوی شنا بروز می‌کند، دارا بودن هر کدام از این ویژگی‌های ریختی مزیتی عملکردی مرتبط با زیستگاه به واسطه انعطاف‌پذیری ریختی است (Eklov and Jonsson, 2007; Januszkiewicz and Robinson, 2007).

جمعیت‌های گونه *A. dayi* در ناحیه سر و باله سینه‌ای دارای تفاوت معنی‌دار بودند که تغییر شکل در ناحیه سر و دهان معنکس-کننده تفاوت در تغذیه می‌باشد که شامل نوع و جهت تغذیه می‌باشد (Langerhans *et al.*, 2003). با توجه به نوع تغذیه این گونه که کفزی-خوار است (Abdoli, 2000; Coad, 2014; Luck *et al.*, 2003), سر عریض و پوزه پهن برای خراشیدن بستر یک مزیت محسوب می‌گردد (Barel, 1983; Kassam *et al.*, 2003; Winemiller, 1991; Winemiller *et al.*, 1995). تفاوت‌های مشاهده شده می‌توانند بیانگر مزیت عملکردی مرتبط با زیستگاه به واسطه انعطاف‌پذیری ریختی باشد (Mohadasi *et al.*, 2013; Eagderi *et al.*, 2013). سر کوچک یا به عبارت دیگر اندازه سر مورد مشاهده در این تحقیق می‌تواند به واسطه تفاوت در سطوح غذایی یا منابع غذایی مورد استفاده باشد (Ruehl and DeWitt, 2005).

- Sea basin. Journal of Taxonomy and Biosystematics, 5(4): 1-8. (In Persian).
- Eklov P., Jonsson P.** 2007. Pike predators induce morphological changes in young perch and roach. Fish Biology, 70(1): 155-164.
- Emadi H.** 2015. Systematic and fish classification. Aquatic Science Publications. Iran. 320p.
- FishBase.** 2020. Available in www.fishbase.org. seen on, 14 January 2020.
- Ghanbarifardi M., Malek M.** 2009. Permanent intertidal fish from the Persian Gulf and Gulf of Oman, Iran. Iranian Journal of Animal Biosystematics (IJAB), 3(1): 1-14.
- Januszkiewicz A.J., Robinson B.W.** 2007. Divergent walleye (*Sander vilreus*)-mediated inducible defenses in the centrarchid pumpkinseed (*Lepomis gibbosus*). Biological Journal of the Linnean Society, 90: 25-36.
- Karpus I., Thompson A.R.** 2011. The Partnership between Gobiid Fishes and Burrowing Alpheid Shrimps. In: Patzner, R. A., Van Tassell, J. L., Larson, H.K., and B.G. Kapoor. The Biology of Gobies. pp: 559-607.
- Kassam D.D., Adams D.C., Ambali A.J.D., Yamaoka K.** 2003. Body shape variation in relation to resource partitioning within cichlid trophic guilds coexisting along the rocky shore of Lake Malawi. Animal Biology, 53: 59-70.
- Lagler K.F., Bardach J.E., Miller R.R.** 1997. Ichthyology. Library of congress catalog code number: 62-17463 printed in USA. 545p.
- Langerhans R.B., Layman C.A., Langerhans A.K. DeWitt T.J.** 2003. Habitat-associated morphological divergence in two Neotropical fish species. Biological Journal of Linnean Society, 80: 689-698.
- Luck G.W., Daily G.C., Ehrlich P.R.** 2003. Population diversity and ecosystem services. Trends in Ecology and Evolution, 18: 331-336.
- Mitteroecker P., Gunz P.** 2009. Advances in Geometric Morphometrics. Evolutionary Biology, 36: 235-247.
- Mohadasi M., Shabanipour N., Eagderi S.** 2013. Habitat-associated morphological divergence in four Shemaya, *Alburnus chalcoides* (Actinopterygii: Cyprinidae) populations in the southern Caspian Sea using geometric morphometrics analysis. International Journal of Aquatic Biology, 1(2): 82-92.
- Moyle P.B., Cech J.J.** 2004. Fishes an introduction to Ichthyology. Nature, 726p.
- Nelson J.** 2006. Fishes of the world, department of biological sciences, university of Alberta, Edmonton. Alberta, T6G2E9, Canada. 601p.
- Niebla A.G.** 1995. Morphological variation between geographically disjunct populations of Atlantic salmon: the effects of ontogeny and habitat shift. Functional Ecology, 9: 448-456.
- Niebla A.G.** 2000. Interacting effects of predation risk and food availability on larval anuran behaviour and development. Oecologia, 123: 497-505.
- Rohlf F.J.** 1998. On application of geometric morphometric to studies of ontogeny and phylogeny. Systematic Biology, 47: 147-158.
- Rohlf F.J.** 2002. Geometric morphometrics and phylogeny. In Morphology, Shape and Phylogeny,. Taylor & Francis. pp: 175-193.
- Ruehl C.B., DeWitt, T.J.** 2005. Trophic plasticity and fine-grained resource variation in populations of western mosquitofish, *Gambusia affinis*. Evolutionary Ecology Research, 7: 801-819.
- Sadeghi R., Esmaeili H.R.** 2019. Cocos frillgoby, *Bathygobius cocosensis* (Bleeker, 1854): an additional fish element for the Iranian marine waters (Teleostei: Gobiidae). International Journal of Aquatic Biology, 7(3): 117-122.
- Sadeghi R., Esmaeili H.R.** 2019. First documentation of an uncommon goby genus and species, *Palutrus scapulopunctatus* (de Beaufort, 1912) from the Persian Gulf (Teleostei: Gobiidae). Iranian Journal of Ichthyology, 6(3): 143-149.
- Sadeghi R., Ebrahimi M., Esmaeili H.R.** 2019. Tesselate goby, *Coryogalops tessellatus* Randall, 1994 (Teleostei: Gobiidae), an additional fish element for the Iranian marine waters. FishTaxa, 4(2): 25-30.
- Sadeghi R., Esmaeili H.R., Zarei F., Abbasi K.** 2018. The taxonomic status of an introduced freshwater goby of the genus *Rhinogobius* to Iran (Teleostei: Gobiidae). Zoology in the Middle East, 65(1): 1-8.
- Slice D.E., Bookstein F.L., Marcus L.F., Rohlf F.J.** 2001. A Glossary Geometric Morphometrics. <http://www.life.bio.cunysb.edu/morph/glossary>.
- Tjarks H.** 2009. Geometric Morphometric Analysis of Head Shape in *Thamnophis elegans*. PhD Thesis. Faculty of California State University, Chico. USA. pp: 1-30.
- Tudela S.** 1999. Morphological variability in a Mediterranean, genetically homogeneous population of the European anchovy, *Engraulis encrasicolus*. Fisheries Research, 42: 229-243.
- Turan C.** 2000. Otolith shape and meristic analysis of herring (*Clupea harengus*) in the North-East Atlantic. Archive of Fishery and Marine Research, 48(3): 213-225.
- Winemiller K.O.** 1991. Ecomorphological diversification in lowland freshwater fish assemblages from five biotic regions. Ecological Monographs, 61: 343-365.
- Winemiller K.O., Kelso-Winemiller L.C., Brenkert A.L.** 1995. Ecomorphological diversification and convergence in fluvial cichlid fishes. Environmental Biology of Fishes, 44: 235-261.
- Zelditch M., Swiderki D., Sheets H.D., Fink W.** 2004. Geometric morphometrics for biologists: a primer. Elsevier Academic Press, New York, USA. 437 p.
- Zivkov M.** 1996. Critique proportional Hypotheses and method for back calculation of fish growth. Environmental Biology of Fishes, 46: 309-32.

نحوه استناد به این مقاله:

حسینی ن، طباطبایی بزدی ف، شکوه سلجوچی ظ. بررسی صفات مورفومتریک سه گونه از خانواده گاوماهیان در سواحل مکران. نشریه پژوهش‌های ماهی‌شناسی کاربردی دانشگاه گندکاووس. ۱۳۹۹، ۱۱(۳): ۸۳-۹۹.

Hosseini N., Tabatabaei Yazdi F., Shokouh Saljoghi Z. Morphometric characteristics of three species from Gobiidae family in the Makran coast. Journal of Applied Ichthyological Research, University of Gonbad Kavous. 2020, 8(3): 1-11.

Morphometric characteristics of three species from Gobiidae family in the Makran coast

Hosseini N¹., Tabatabaei Yazdi F^{*2}., Shokouh Saljoghi Z³.

¹ M.Sc., Dept. of Environment, Faculty of Natural Resources and Environment, Ferdowsi University of Mashhad, Mashhad, Iran

² Assistant prof., Dept. of Environment, Faculty of Natural Resources and Environment, Ferdowsi University of Mashhad, Mashhad, Iran

³PhD, Dept. of Fisheries, Faculty of Natural Resources, Isfahan University of Technology, Isfahan, Iran

Type:

Original Research Paper

Paper History:

Received: 30-1-2020

Accepted: 12-3- 2020

Corresponding author:

Tabatabaei Yazdi F. Assistant prof., Dept. of Environment, Faculty of Natural Resources and Environment, Ferdowsi University of Mashhad, Mashhad, Iran.

Email: f.tabatabaei@um.ac.ir

Abstract

Gobiidae is one of the largest fish families in the world. This study aimed to investigate the morphometric characteristics of three species from Gobiidae family including *Acentrogobius dayi*, *Bathygobius meggitti*, and *Istigobius ornatus* from the Makran coast, southeastern of Iran. A total of 56 specimens were captured from three stations including Tis, Lipar, and Darya-Bozorg during the spring and summer 2018 and transplanted to the laboratory. Thirty-six morphological variables were analysed (including univariate and multivariate) using SPSS and PAST software. The results showed that there was a significant difference among the studied species, mainly in the head and pectoral fin. However, other characters were not significantly different. The results of the cluster analysis showed that *B. meggitti* was considerably different from the other species. This study also demonstrates significant intra-specific differences regarding *I. ornatus*. In addition to the head and pelvic fin, some differences were observed in the tail fin. In *A. dayi*, intra-specific differences, same as what observed at inter-specific level, were mainly in the head and pelvic fin. The multivariate analysis of the characters and pairwise comparison of the *I. ornatus* and *A. dayi* populations showed that these two populations in the Lipar and Darya-Bozorg stations have more similarities. An advanced molecular study as a complementary study is required to clarify the species diversity and taxonomy of this poorly known family.

Keywords: Biodiversity, Biology, Fish, Morphology, Taxonomy